

グリッドフリーチャネル配線の手法

An Algorithm for Grid-free Channel Routing

米田 浩, 小嶋 格, 林 正樹, 久保 登, 千葉 徹
 犬伏 恒雄 (シャープ株式会社)

1. まえがき

近年の半導体加工技術の進歩は目覚しく、LSIチップ上に搭載される素子の数も飛躍的に増加している。この様なLSIの高集積化に伴ない、チップ内の高密度配置配線を実現する自動レイアウトシステムの必要性が増大している。LSI自動レイアウトシステムの最も重要な目的の一つはチップの面積を最小化することであり、従って配線に対してはその配線領域を最小にする必要がある。配線手法としては、通常配線径路をチャンネルに相当する段階(グローバル配線)と各チャンネル内での配線径路を詳細に決定する段階(チャンネル配線)に分けて取り扱うのが効果的な方法の一つとして良く知られている。

このうち、後者のチャンネル配線手法に対しては、チップ全面にわたり予め固定したグリッド(格子)上のみ配線を許すという条件の下で、チャンネル幅を最小にする為の種々の理論的考察及び実験が行なわれてきた^{[1][2]}。しかし、グリッドを固定する配線手法は処理時間も速く、プログラムが容易である反面、一般にコンタクト-コンタクト間クリアランスがコンタクトライン間クリアランスよりも大きいことよりグリッドの間隔をどちらに取っても配線領域の面積が増大してしまう。

この様なグリッドを固定する場合の弊害をなくし、より密度の高い配線を行なうことを目的として提案されたのがグリッドフリー(格子無し)配線手法であり、この手法の有用性を示す実験結果も最近報告されている^[3]。

本文においては、グリッドフリーの配線を行う際に考慮しなければならない様々な制約条件を重み付制約グラフGwを用いて表現し、このグラフを用いて、ライン-コンタクト等の間隔をすべて最小

許容範囲にして、高密度な配線を実現するアルゴリズムを提案する。

2. 準備

2.1 チャンネル配線問題

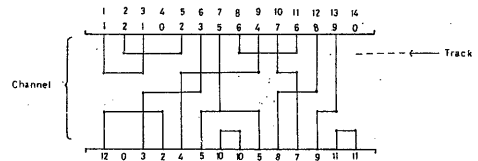


図1. チャンネルと配線要求列

チャンネル配線問題は、図1に示す様に2行の端子列上に与えられた配線要求を、それぞれはさまれた領域(チャンネル)において、2つの配線層を用いて実現する問題である。ここで、配線要求は上下の端子列に対応した2つの整数の列で示され、同じ正整数が与えられた端子の集合(ネット)は同電位となる様に結線しなければならない。ただし、0を持つ端子は他のどの端子とも結線する必要のない空端子であるものとする。

2層を用いて配線を行う際は、通常一つの層には端子列に平行な水平線分(幹線)が、他の層には垂直な線分(支線)が置かれ、それぞれはコンタクトによって接続される。又、支線は各端子の存在する垂直な列の上に、幹線は水平トラックと呼ばれる水平線の上に置かれ、与えられた水平トラック数(チャンネル容量)内で配線要求を実現することがこの問題の目的となる。

またネットを2端子対単位に分解したものをサブネットと呼び、サブネットに対応する水平線分を2端子幹線と呼ぶ。

2.2 前提条件

本手法においては、文献[3]と同様に次の前提条件を用いる。

(1). 配線層は縦横2層を用い、その方向も固定である。

(2). 各種クリアランス (設計基準) が以下に示すように与えられているものとする。ここで、クリアランスとは、コンタクト及びラインを配置する際に互いに離さなければならない最小の距離 (整数) を示すものであり、すべて中心線又は中心点間の距離で表わされる。(図2参照)

1. 水平コンタクト-コンタクト間クリアランス (HCC)
2. 垂直コンタクト-コンタクト間クリアランス (VCC)
3. 水平コンタクト-ライン間クリアランス (HCL)
4. 垂直コンタクト-ライン間クリアランス (VCL)

(3). 各クリアランスの最大公約数をトラックのピッチとし (2) のクリアランスはトラックのピッチの倍数で表わす。

(4). ここで問題を単純化する為に、チャンネルの上下辺には凸凹が存在しないものとする。

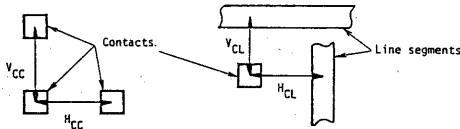


図2. 各種クリアランス

2.3 幹線間の制約条件^[3]

従来の配線手法における制約条件には、異なるネットの間の短絡を避ける為に、幹線が互いに重ならないこと、支線が重ならないことの2種類がある。ここで、支線が重ならないとは、上辺の端子が持つ値と下辺の端子が持つ値が異なり、かつこれら2つの端子が同一の端子列上に置かれる時、上辺の端子に接続されるネットの幹線は、下辺のそれよりも上に置かなければならないということになる。

グリッドフリーチャンネル配線においては以上の制約に加え、グリッドを固定した場合においては自動的に満足していないクリアランス条件についても考慮する必要がある。以下に、考慮すべき幹線間の制約条件について述べる。

(1). 上下制約

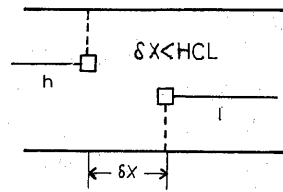


図3. 上下制約

図3に示す様に、チャンネルの上下辺に異なる値を持ったネットが接続される際、端子間距離 δx が水平コンタクト-ライン間クリアランス (HCL) より小さい場合、幹線 h, l 間には上下制約が生じる。

(2). 非重複制約

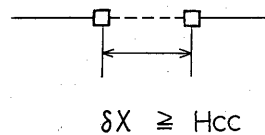


図4. 非重複制約

異なる値を持ったネットの幹線を同一のトラックに置く場合、図4に示す様に端子の間隔 δx は水平コンタクト-コンタクト間クリアランス (HCC) 以上離れなければならない。

(3). クリアランス条件

幹線を割り当てる場合には、従来の配線手法とは異なり、2.2で示したクリアランスをすでに割り当てられた幹線との間で満足させる必要がある。

3. 処理手順

本手法においては、2で述べた種々の制約条件を含んだ制約グラフである重み付制約グラフ $G_w = [V_w, E_w, U, A_w]$ を導入し、この G_w を用いて配線を行なう。ここでは、一般性を失うことなく、2端子幹線に対応するグラフのみを対象とすることとする。

良く知られている様に、上下制約グラフ中にループが存在している場合、ドングレ配線が必要となるため、本手法では、前処理として上下制約ループの解除を行なっている。

本手法は大きく分け、前処理・重み付き制約グラフ作成・幹線割当の3段階から成り、以下に詳述する。ここで問題を簡単に表現する為チャンネルは水平であるとし、図5に示す様な座標系を取るものとする。図中の N_i はサブネットを表わし、 $v_i \in V_w$ はグラフ上 Z サブネット N_i に対応

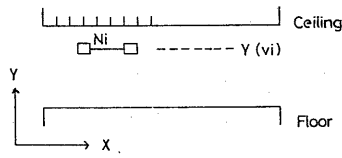


図5 ネット N_i とトラック位置 $Y(v_i)$

する節点、 $Y(v_i)$ はサブネット N_i が割当てられるトラックの Y 座標である。

3.1 前処理

前処理においてはネットをサブネットに分割する処理と、上下制約ループの解除を行なう処理が行なわれる。サイクル範囲とは上下制約グラフ内でループを構成するサブネットが、チャンネル内で占める範囲であるとする。ループ解除は次の3つの方法で行なわれる。[4]

(1) 方法1: ループを構成しているサブネットをそのサイクル範囲中で分割する(図6)

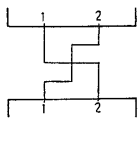


図6. 方法1

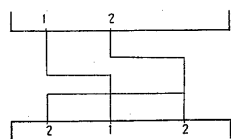
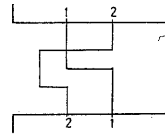


図7. 方法2

(2) 方法2: ループを構成しているサブネットを、そのサイクル範囲外の同一の値を持つ端子まで延長する。(図7)

(3) 方法3: ループを構成しているサ



ブネットをそのサイクル範囲外の適当な端子まで延長する(図8)

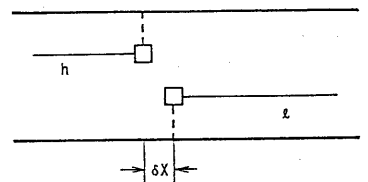
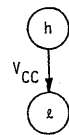
図8. 方法3

前処理のアルゴリズムでは、上記の方法1,2,3,を順次適用して、上下制約ループを解除する。

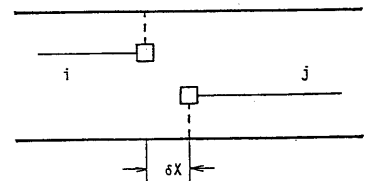
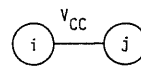
3.2 重み付き制約グラフ作成

重み付き制約グラフ $G_w = [V_w, A_w, E_w]$ は次の様に定義される。

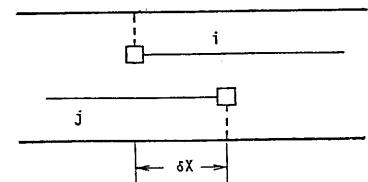
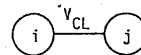
(1) サブネット N_h と N_z の端点間の距離 δx がHCL未満の場合、節点 v_h と v_z の間には重直 $w(\alpha) = w(v_h, v_z) = V_{CC}$ を持つ有向枝 $\alpha = \langle v_h, v_z \rangle \in A_w$ を付加する。(図9(a))



(a) $\delta x < H_{CL}$



(b) $H_{CL} \leq \delta x < H_{CC}$



(c) $H_{CC} \leq \delta x$

図9. 重み付き制約グラフ中の有向枝&w無向枝

(2). サブネット N_i と N_j の端点間の距離 δx が HCL 以上 HCC 未満の場合、節
点 v_i, v_j の間には、重み $w(e) = w(v_i, v_j) = VCC$ を持つ無向枝 $e = (v_i, v_j) \in E_w$ を付加する (図9(b))

(3). サブネット N_i と N_j の端点間の距離 δx が HCC 以上で幹線が重複している場合、節
点 v_i, v_j の間には重み $w(e) = w(v_i, v_j) = VCL$ を持つ無向枝 $e = (v_i, v_j) \in E_w$ を付加する。
(図9(c))

なお例外として、同一の値を持つサブ
ネットに対しては上記の処理は行な
わず、枝は付加しない。(図10)



図10. 枝が付加されない場合

以上の定義により、図11の配線要求に
対する重み付制約グラフの例を図12に
示す

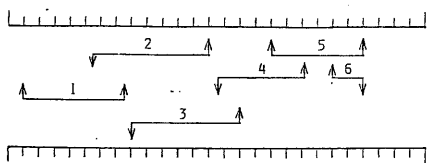


図11. 配線要求

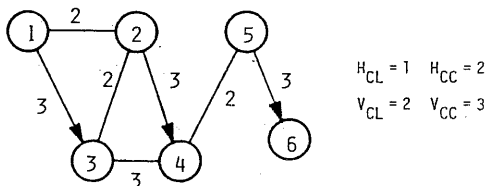


図12. 重み付制約グラフ(例)

<重み付制約グラフ作成>

STEP.1: サブネットの集合を N_S とし
 N_S をサブネットの左端の座標でソ
ーティングする。

STEP.2: N_S 中のすべてのサブネット N_i
に対して、STEP.3, STEP.4 の処理
を繰返す。

STEP.3: サブネット N_i の左端の座

標と右端の座標 + HCC の間に、
左端が存在するサブネット N_j を選
出し、これらの集合 N_C を作る。

STEP.4: サブネット N_i と $N_j \in N_C$ に対
し前記の(1)(2)(3)の定義に従い、有
向枝、無向枝を付加する。

以上の処理により作成したグラフ G_w
を用いて、幹線割当を行なうわけであ
るが、ここでグラフ G_w を用いたグリッド
フリーチャンネル配線について考えこみる。

まずチャンネル幅 W は、以前に定義さ
れた $Y(v_i)$ を用いて

$$W \triangleq \text{MAX}(Y(v_i)) - \text{MIN}(Y(v_j))$$

と表わされる。グリッド固定のチャ
ネル配線においては、この W を最小化す
ることを目的としているわけであるが、
グリッドフリーチャンネル配線に対し
は、さらに条件が加わる。これを考慮
して定式化を行なうと、次の様に表わ
される。

[グリッドフリーチャンネル配線問題]
「重み付制約グラフ G_w が与えられた場
合、以下の2つの条件を満足し、チャ
ネル幅 W を最小とする配線を行なえ

- (1). すべての $ah_e \in A_w$ に対し
 $Y(v_w) - Y(v_x) \geq w(ah_e)$
- (2). すべての $e_{ij} \in E_w$ に対し
 $|Y(v_i) - Y(v_j)| \geq w(e_{ij})$

3.3 幹線割当

以下では3.2で定式化したグリッドフ
リーチャンネル配線問題の発見的なアルゴ
リズムを示す。本アルゴリズムは、重
み付制約グラフによって表わされた配
線要求に対して、チャンネルの上方より
順次ネットをクリアランスを満足しな
がらトラック割当を繰り返すものである。

同一トラック割当を繰り返す幹線
(グラフ上では節点)の集合を決定する
際、唯一の手法で可配線集合を選出
するのではなく、3種の候補者節点の
集合 $W_j (j=1,2,3)$ を作成し、評価関数

$F(w_j)$ が最大となるものを可配線集合として決定してやる。

評価の対象となる候補者節点の集合を W_j ($j=1,2,3$) とすると評価関数 $F(w_j)$ は次式で表わされる。

$$F(w_j) = C_{\infty} * H(w_j) + \sum_i E(v_i), C_{\infty} \gg 1.$$

$$H(w_j) = \max(U(v_i)) + \max(D(v_i)) - \max(U(v_i) + D(v_i))$$

$$v_i \in W_j (j=1,2,3)$$

ここで

$E(v_i)$: 節点 v_i が持つ無向枝の数。
 $U(v_i)$: 節点 v_i を含む最長パス上での有向枝が入ったこない節点(ノース)から v_i までの有向枝の数。

$D(v_i)$: 節点 v_i から有向枝が出た行かない節点(シンク)までの有向枝の数 (図13)

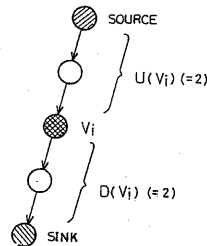
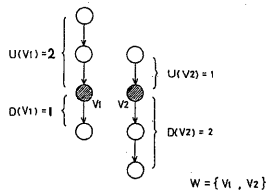


図13. $U(v_i)$ と $D(v_i)$

$H(v_i)$ は W_j に含まれる節点を同一のトラックに割り当てた場合の最長パス長の増加分であり (図14) $\sum_i E(v_i)$ は W_j 中の節点を持つ無向枝の総数である。



$$H(w) = \max(U(v_1)) + \max(D(v_1)) - \max(U(v_1) + D(v_1)) = 2 + 2 - 3 = 1$$

図14. $H(w)$

この評価関数 $F(w_j)$ が最大となる候補者集合を可配線集合とする。この様な集合は上方のトラックに割り当てられ

ずは、後のすなわち $Y(v_i)$ の小さいトラックに割り当てられた場合、最長パスの増加分が大まかになると予測される。従って、上方のトラックに割り当てられる場合と比べ、チャンネル幅 W が増大する可能性が高くなると考えられる。この様に、割り当てを後回しにすると、それ以後の割り当てに悪影響を及ぼすであろうと

考えられる集合を決定する為、上記の評価関数を用いているといえる。

<幹線割当>

STEP. 1: 集合 $S \leftarrow \{ \text{グラフ } G_w \text{ 中で有向枝が入ったこない節点} \}$
 STEP. 2: S 中のすべての節点 v_i に対してサブネット N_i が割当てられる最上のトラックの y 座標 $Y(v_i)$ を算出する。

STEP. 3: $Y(v_i)$ の最大値 $Y_{MAX} (= \max(Y(v_i)))$ を求め、 $Y(v_i) = Y_{MAX}$ となる v_i を S 中から選出し、部分集合 U を作る。
 U 中のすべての節点の間に無向枝が存在しなければ、可配線集合 $Z \leftarrow U$ として STEP 6.1.

STEP. 4: U 中から可配線集合 Z となり得る候補者として、次の3種の集合 W_1, W_2, W_3 を選出する。
 W_1 : レフトエッジ法を用いて選出した候補者集合。

W_2 : ライトエッジ法を用いて選出した候補者集合

W_3 : 最長パス上の節点を中心に、右端からはレフトエッジ法を、左端からはライトエッジ法を用いて選出した候補者集合

STEP. 5: 候補者集合 W_j ($j=1,2,3$) に対し、評価関数 $F(w_j)$ を適用し値が最大となる集合を可配線集合 Z とする。

STEP. 6: Z 中の節点 v_i に対応するサブネット N_i を $Y(v_i) (= Y_{MAX})$ の y 座標を持つトラックに割り当てる。

$$V_w \leftarrow V_w - Z$$

STEP. 7: V_w が空でない限り終る。空でない場合、 V_w を使ってグラフ G_w を更新し、 G_w 中で有向枝が入ったこない節点の集合 S を選び、STEP. 2.1

4. 実験結果

本手法を、FORTRAN を用いて PDP グラムシ、VAX11/780 上でいくつかの実験を行なった。

4.1 グリッドフリー と グリッド固定の比較

表1にグリッドフリー、とグリッド固定の場合の実験結果を示す。グリッドフリーの場合のクリアランスは $HCC = VCC = 8$, $HCL = VCL = 7$, 固定の場合はずべて 8 である。data 1~4 は実際のデータ中のチャンネルである。

	data 1	data 2	data 3	data 4
グリッドフリー	85	96	95	91
固定	96	104	104	112

表1. グリッドフリー、グリッド固定に場合のチャンネル幅 単位はピッチ

コンタクト-コンタクト間クリアランスとコンタクト-ライン間のクリアランスの差が少ないこの様な場合においてチャンネル幅 W はグリッドフリーで配線すると 8~18% 減少する。この差が大さい場合は、さらにチャンネル幅は減少すると考えられる。

4.2 評価関数の有効性

本手法においては、候補者集合 W_j ($j=1,2,3$) 中から可配線集合 Z を決定する際、評価関数を用いず、 Z を W_1 あるいは W_2, W_3 のどれに対しても固定することが可能である。例えば Z を W_1 に固定すると、レフトエッジのグリッドフリー配線が行なわれることになる。4.1 のデータに対して、 Z を W_1, W_2, W_3 に固定した場合に、得られた実験結果を表2に示す。

	data 1	data 2	data 3	data 4
W_1 に固定	93	99	99	91
W_2 に固定	86	101	106	92
W_3 に固定	92	100	102	98

表2. Z を W_1, W_2, W_3 に固定した場合のグリッドフリー配線結果(チャンネル幅) 単位はピッチ

ここで、クリアランスは 4.1 と同様 $HCC = VCC = 8$, $HCL = VCL = 7$ である。

いずれのデータに対しても評価関数 $F(W_j)$ を用いた場合が最も良い結果を得ていることがわかる。

さらに、文献[5]で "Difficult Example" と呼ばれている例題に対しても同様のテストを行なったので、その結果を表3に示す。

本配線手法	163
Z を W_1 に固定	172
Z を W_2 に固定	182
Z を W_3 に固定	176

表3 "Difficult Example" に対する実験結果(チャンネル幅) 単位はピッチ $HCC = VCC = 8$, $HCL = VCL = 7$

このうち本手法を適用した場合の配線結果を図5に示す。この例に対しても評価関数を用いた本手法が最も良い結果を得ている。

4.3 実際のデータに対する結果

表4に実際のデータに対する結果(処理時間)を示す。このうちCHIP2に対する配線結果を図6に示す。

5. あとがき

本文では、グリッドフリーチャンネル配線問題に対し、重み付制約グラフという概念を導入し、それを用いて幹線割当を行なう手法を提案し、実験結果を示した。

本手法は既に当社の「ゲートアレイ自動レイアウトシステム」^[6]において採用されている。前処理として上下制約ループの解除を行なっている為、未配線は発生していない。

またビルディングブロック方式のLSIレイアウトの際に問題となるチャンネル上下辺の凸凹に対しても同様の様に割当される最上のトラックの発見を容易にする包絡線(Envelope)を定義する

ことにより、対応が可能となる。

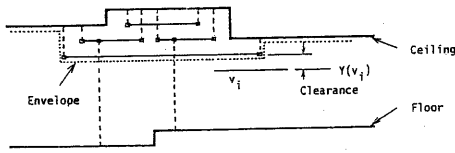


図 17. Envelope の導入

謝辞

最後に、本研究の機会を与えて下さった、集積回路事業部 副事業部長 木村征二氏に深く感謝いたします。また本文をまとめるにあたり、貴重な助言及び批判を戴いた、集積回路事業部 6 技術部 神戸尚志氏、谷真宏氏に心から感謝いたします。

参考文献

[1] T. Yoshimura and E.S. Kuh : " Efficient Algorithm for Channel Routing ", IEEE Trans. on CAD, vol. CAD-1, no. 1. pp. 25-35 (1982)

[2] 福井正博, 築山修治, 白川功, 尾崎弘 : " チャネル配線の一手法 " 信学技報 CAS81-121 pp. 91-98 (1981)

[3] 下山博義, 佐藤興一, 八原俊彦 : " 配線格子の無いチャネル配線ルータとの開発 " 信学技報 CAS79-44 pp. 35-39 (1979)

[4] M.L. Liu : " An Algorithm for Two-layer Channel Routing with Cyclic Constraints " UCB/ERL M81/82 (Nov. 1981).

[5] G. Perskey et al. : " LIX-A Mini-computer-based System for Automated LSI Layout " J. Design Auto. & Fault-Tolerant Computing Vol. 1, 3, pp. 217-255 (1977)

[6] T. Chiba, N. Ouda, T. Kambe, I. Nishioka, T. Inufushi, and S. Kimura : " SHARPS : A hierarchical layout system for VLSI, " Proc. 18th Design Auto. Conf., pp. 820-827 (1981)

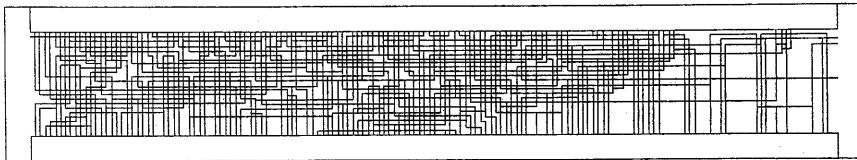


図 15 "Difficult Example" に対する配線結果 (HCC=VCC=8, HCL=VCL=7)

	CHIP 1	CHIP 2	CHIP 3	CHIP 4
ブロック数	187	664	1204	1315
ピン数	1238	4872	4185	9543
ネット数	201	643	675	1246
チャネル数	9	17	23	23
CPU 時間	1'48.26"	8'45.09"	8'37.61"	19'47.58"

表 4. 実際のデータに対する処理時間 (CPU 時間はチャネル配線のみ)

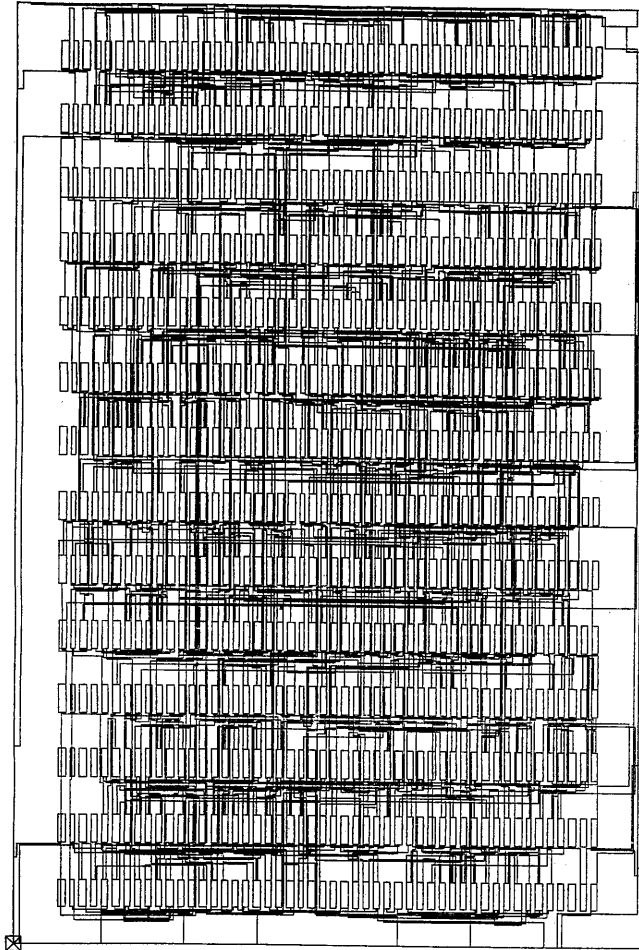


図.16 CHIP 2 に対する配線結果
(HCC=VCC=8, HCL=VCL=7)